

Youth Culture

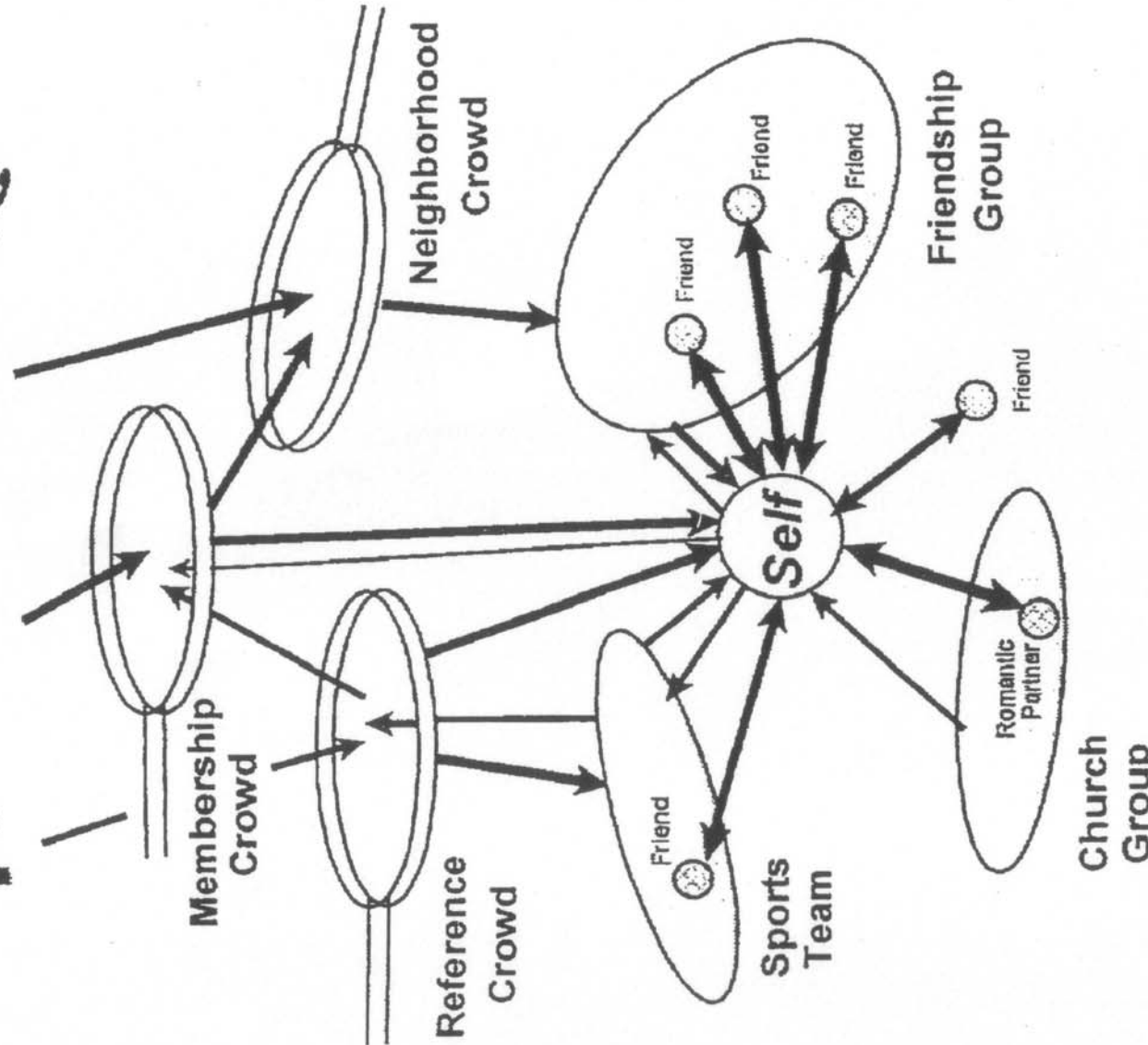
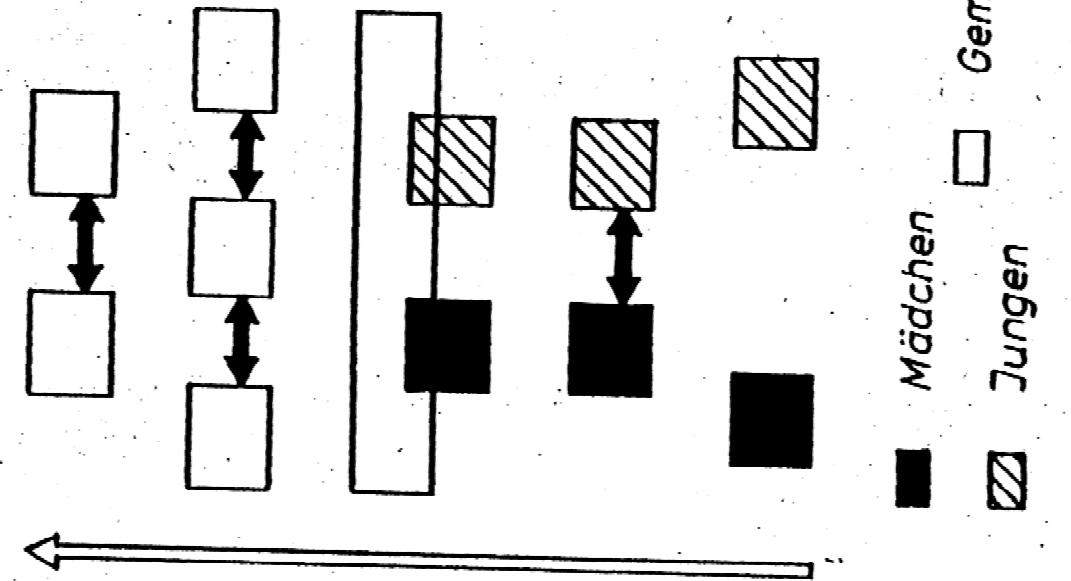


Figure 1. Conceptual model of the adolescent peer environment. Arrows indicate influence of one entity on another; thickness of arrow indicates magnitude of influence. Bent arrows indicate influence is filtered through intervening entity.

Brown, B. B. (1999). Measuring the peer environment of American adolescents. In S. L. Friedman & T. D. Wachs (Eds.), Measuring environment across the life span: Emerging methods and concepts (pp. 59-90). Washington, DC: American Psychological Association.

Auseinanderbrechen von Crowds durch Paarbildung



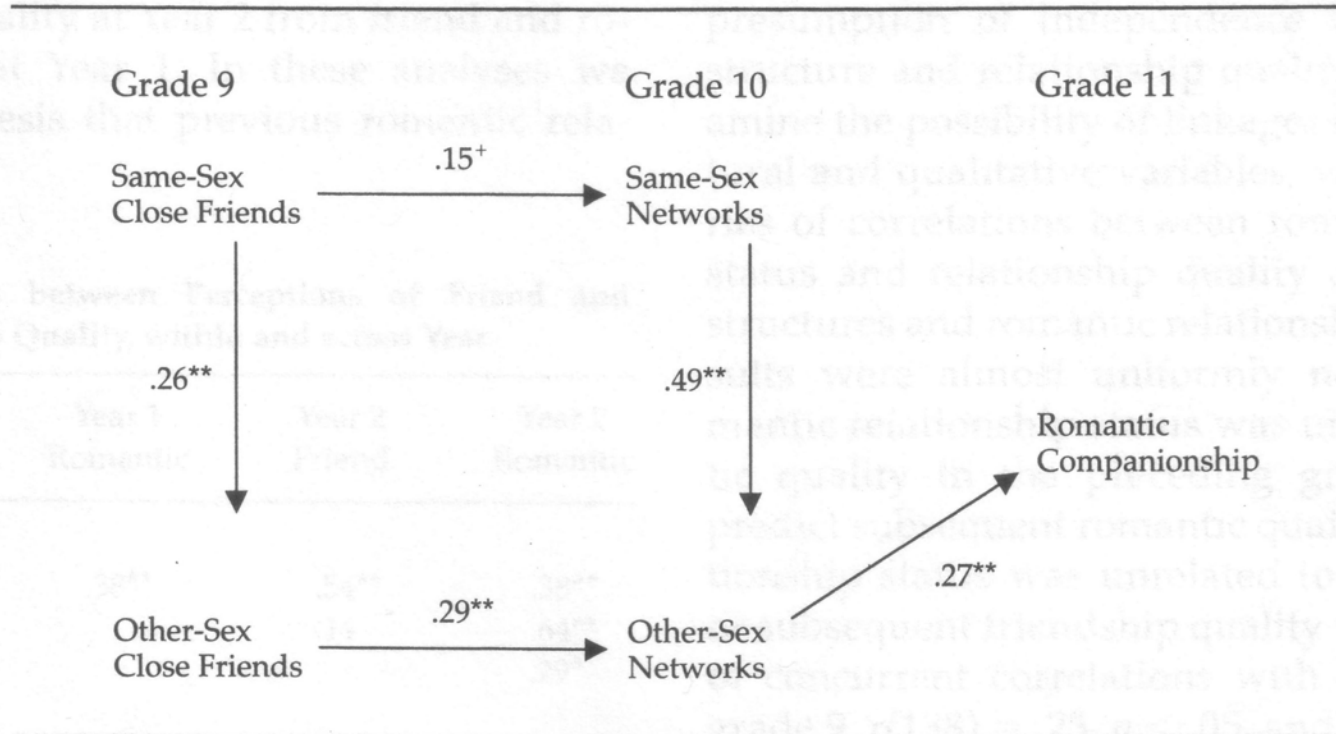
ausgebildete Crowd-Struktur
mit locker assoziierten ge-
mischtgeschlechtlichen Cli-
quen

engere Interaktionen zwi-
schen gleichgeschlechtlichen
Cliquen, Beginn der Ausbil-
dung von gemischt-
geschlechtlichen Crowds

Kontakte zwischen ver-
schiedenen gleichge-
schlechtlichen Cliquen

gleichgeschlechtliche Cli-
quen

Abbildung 7: Modell der Entwicklung von Peerkontakten unter Kindern und Jugendlichen nach Dunphy (1963).



⁺ $p < .10$; * $p < .05$; ** $p < .01$.

Values shown on arrows are standardized parameter estimates.

Figure 2 LISREL model of the sequencing of same- and other-sex close friend groups in grade 9, same- and other-sex networks in grade 10, and romantic companionship in grade 11.

Connolly, J., Furman, W. & Konarski, R. (2000). The role of peers in the emergence of heterosexual romantic relationships in adolescence. *Child Development*, 71, 1395-1408.